

УДК 541.6:541.49

**РЕНТГЕНОСПЕКТРАЛЬНОЕ И КВАНТОВО-ХИМИЧЕСКОЕ ИЗУЧЕНИЕ
ЭЛЕКТРОННОГО СТРОЕНИЯ ТИАКАЛИКС[4]АРЕНОВ
И ИХ АЦИКЛИЧЕСКИХ АНАЛОГОВ**

**Н.А. Крючкова^{1,2}, С.А. Лаврухина¹, Г.А. Костин^{1,2}, Л.Н. Мазалов^{1,2}, В.Г. Торгов¹,
А.В. Калинкин³, А.Б. Драпайло⁴**

¹Институт неорганической химии им. А.В. Николаева СО РАН, Новосибирск
E-mail: knatali@ngs.ru

²Новосибирский государственный университет

³Институт катализа им. Г.К. Борескова СО РАН, Новосибирск

⁴Институт органической химии НАН Украины, Киев

Статья поступила 2 апреля 2013 г.

Проведено рентгеновское фотоэлектронное и рентгеновское эмиссионное изучение зарядового состояния тиакаликс[4]аренов в сопоставлении с данными квантово-химических расчетов. Оценены величины релаксационных поправок между энергиями орбиталей Кона–Шема, рассчитанных методом DFT, и экспериментальными параметрами РЭ и РФЭ спектров исследованных соединений. Показано, что образование циклической ароматической системы в тиакаликсаренах приводит к понижению энергии орбиталей, включающих p – π -взаимодействия мостиковых атомов серы и ароматических фрагментов, что определяет особенности РЭ спектров исследованных соединений.

Ключевые слова: тиакаликс[4]арены, рентгеновская фотоэлектронная спектроскопия, рентгеновская эмиссионная спектроскопия, метод DFT.

ВВЕДЕНИЕ

Каликсарены являются одним из наиболее интенсивно исследуемых классов макроциклических соединений. В последние десятилетия в качестве строительных блоков для дизайна молекул-“хозяев” каликсаренам уделяют особое внимание за счет ряда привлекательных свойств: доступность одностадийным синтезом, широкий спектр размеров полости, возможность различного пространственного расположения связывающих групп, различающихся числом и типом центров связывания, изменение баланса между жесткостью и гибкостью рецептора. В ряду каликсаренов особо следует выделить тиакаликс[4]арены (ТКА), в которых метиленовые мостики заменены атомами серы [1—4], влияющие на электронное строение ароматического ядра в целом [1, 5] и способные выступать в качестве дополнительных донорных центров. Участие атомов серы вместе с депротонированными OH-группами нижнего обода в непосредственной координации молекул каликсаренов к катиону металла при образовании комплекса подтверждено рентгеноструктурно для большого количества катионов, в том числе включая типичные оксофильные (Ti, In, лантаноиды) и халькофильные (Ag, Pd, Hg) [6—9]. Однако при комплексообразовании и экстракции в гетерофазных системах при переходе от каликс- к тиакаликсаренам наиболее сильная разница проявляется именно для типичных халькофильных металлов.

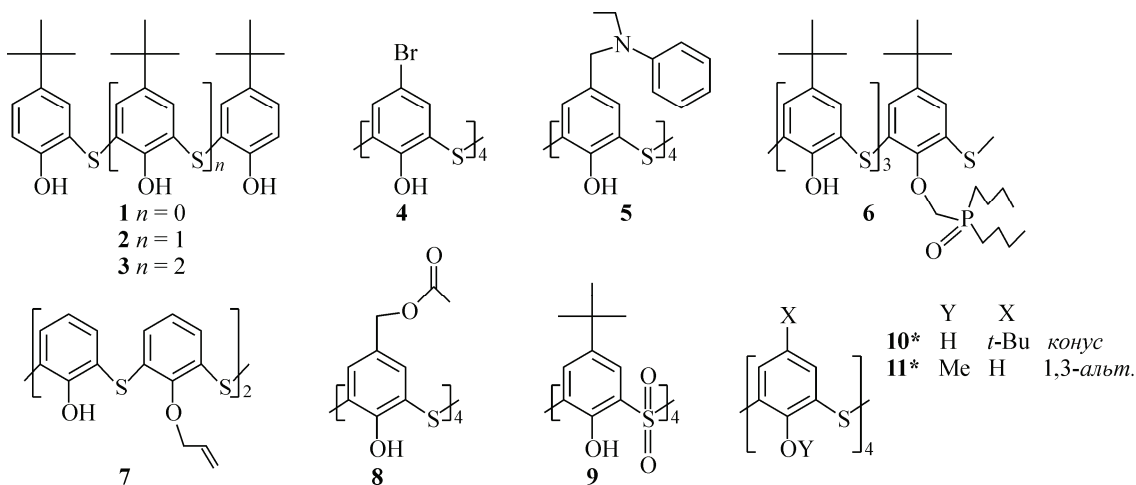


Рис. 1. Ациклические тиоэфиры 1—3 и тиакаликс[4]арены 4—9, изучаемые в работе (* [10])

В настоящее время для описания характера распределения электронной плотности в молекуле широко используется понятие эффективного заряда, локализованного на том или другом атоме системы. Энергетическое положение остовного уровня атома в молекуле зависит от величины электронной плотности, локализованной на соответствующих атомах. При изменении характера распределения электронной плотности в молекуле изменяются и энергии внутренних уровней атомов, входящих в ее состав. Метод рентгеновской фотоэлектронной спектроскопии (РФЭС) позволяет получить сведения об энергиях связи отдельных внутренних уровней атома в молекуле. Совместное использование методов рентгеновской фотоэлектронной и рентгеновской эмиссионной спектроскопии (РЭС) в совокупности с методами квантовой химии позволяет провести детальное изучение энергетического спектра веществ в широком интервале и характер распределения электронной плотности в исследуемых объектах.

Ранее [10—12] методами РФЭС, РЭС и квантовой химии было проведено сопоставление характера распределения электронной плотности в молекулах тиакаликс[4]аренов в различной конформации. Целью настоящей работы является экспериментальное и теоретическое изучение особенностей распределения электронной плотности в ациклических тиоэфирах (1—3) и тиакаликс[4]аренах (4—9) (рис. 1) (10* и 11* исследованы ранее [10]).]

ЭКСПЕРИМЕНТАЛЬНАЯ ЧАСТЬ

Все реагенты, использованные в работе, имели квалификацию не ниже ЧДА. Серосодержащие каликсарены получены по описанным методикам [7—9].

Рентгеновские фотоэлектронные спектры были записаны на рентгеновском фотоэлектронном спектрометре фирмы SPECS (Германия). Спектрометр оснащен полусферическим анализатором PHOIBOS-150, 9-канальным детектором электронов и источником рентгеновского характеристического излучения XR-50 с двойным Al/Mg анодом. В работе использовали неменохроматизированное излучение AlK_{α} ($h\nu = 1486,6$ эВ). Образцы комплексов закрепляли на держателе с помощью двусторонней липкой ленты. Калибровку шкалы энергий связи ($E_{\text{св}}$) проводили методом внутреннего стандарта по линии C1s, значение которой для углерода, входящего в состав углеводородного каркаса комплекса, принималось равным 284,9 эВ [13].

Рентгеновские флуоресцентные эмиссионные K_{α} -спектры атомов кислорода и K_{β} -спектры атомов серы были получены на рентгеновском ультрамягком спектрометре "Стеарат". В качестве кристалла-анализатора использовали кристалл кварца (1340). Режим работы рентгеновской трубы $V = 8$ кВ, $I = 100$ мА. Вещества наносили на вторичный анод рентгеновской трубы, находящейся в процессе съемки при температуре жидкого азота. Спектры регистрировали пропорциональным счетчиком с аргон-метановым наполнением. Разрешение спектрометра

в исследуемой спектральной области $\sim 5 \cdot 10^3$. Точность измерения энергетического положения SK_{β} - и OK_{α} -линий $\sim 0,2$ эВ.

Квантово-химические расчеты электронного строения ациклических соединений (**1—3**) и молекул тиакаликс[4]аренов (**4—9**) были проведены с использованием программного комплекса Jaguar 7.5, Shrodinger Inc. [14]. Для оптимизации геометрии молекул тиакаликс[4]аренов выбран метод теории функционала плотности (DFT) с гибридным обменно-корреляционным функционалом B3LYP [15, 16]. Используемый базис — M6-31G(TM)* [17] для всех атомов. Эффективные заряды на атомах серы и кислорода были определены из молекулярного электростатического потенциала (ЭСП) [18, 19].

РЕЗУЛЬТАТЫ И ИХ ОБСУЖДЕНИЕ

Средние значения расстояний S—C, C—O и валентных углов C—S—C, полученные в результате расчетов, для ациклических соединений **1—3** равны 1,86 Å, 1,38 Å и 101,5—102,4° соответственно. При переходе от ациклического тетрамера **3** к тиакаликсарену **10** в конформации конус с таким же набором донорных атомов (Y = H, X = t-Bu) наблюдается некоторое уменьшение длин связей S—C (1,81 Å) и C—O (1,36 Å) и увеличение угла C—S—C (104,4°) [12]. При варьировании природы донорных атомов (табл. 1) для тиакаликсаренов **5—8** в конформации конус расчетные средние длины связей S—C и C—O лежат в диапазоне 1,85—1,87 и 1,37—1,38 Å соответственно, а для тиакаликсарена **4** (X = Br) наблюдается уменьшение длин связей — 1,80 и 1,36 Å соответственно. Значения валентных углов C—S—C для всех изучаемых тиакаликсаренов **4—9** несколько увеличиваются по сравнению с ациклическими аналогами **1—3** и лежат в диапазоне 103,0—107,8°. Для всех исследованных тиакаликс[4]аренов расчетная структура каликсареновой платформы близка к конформации *уплощенный конус* с симметричными значениями межплоскостных углов C_n —S₄ (2+2). Лишь в случае асимметрично замещенного соединения **6** наблюдается существенное отклонение от C_{2v} -симметрии.

Рентгеновские фотоэлектронные спектры показывают, что различия энергии связи 2p-уровня атома серы для ациклических аналогов **1—3** и тиакаликс[4]аренов в конформации конус **4—8** (табл. 2) не превышают 0,2 эВ, что сравнимо с погрешностью метода. Учитывая данные для тиакаликсаренов **10** и **11** (см. табл. 2), исследованных ранее [10], можно лишь отметить наличие тенденции к уменьшению энергии связи 2p-уровня атомов серы при переходе от ациклических аналогов **1—3** (163,85—164,01 эВ) к тиакаликс[4]аренам в конформации конус **4—10** (163,71—163,93 эВ) или 1,3-альтернат **11** (163,5—163,55 эВ) [10]. Существенное отличие энергии внутреннего уровня ($\epsilon_{2p} = 168,3$ эВ) для сульфонового производного **9** по сравнению с остальными соединениями свидетельствует о значительном снижении электронной плотности

Таблица 1

*Геометрические параметры расчетных структур
для исследованных соединений*

L	S—C	O—C	Угол C—S—C	S=O	Межплоскостной угол C_n —S ₄
1	1,86	1,38	101,5	—	—
2	1,86	1,38	101,9	—	—
3	1,86	1,38	102,4	—	—
4	1,80	1,36	103,9	—	60,3; 42,9; 60,7; 42,5
5	1,85	1,38	104,9	—	56,8; 36,1; 58,8; 35,5
6	1,85	1,38	103,8	—	62,7; 45,4; 50,9; 45,7
7	1,86	1,37	103,0	—	72,3; 37,0; 72,1; 36,4
8	1,85	1,38	105,4	—	48,6; 43,6; 48,0; 42,2
9	1,88	1,37	109,1	1,64	62,0; 28,9; 61,0; 26,7

Таблица 2

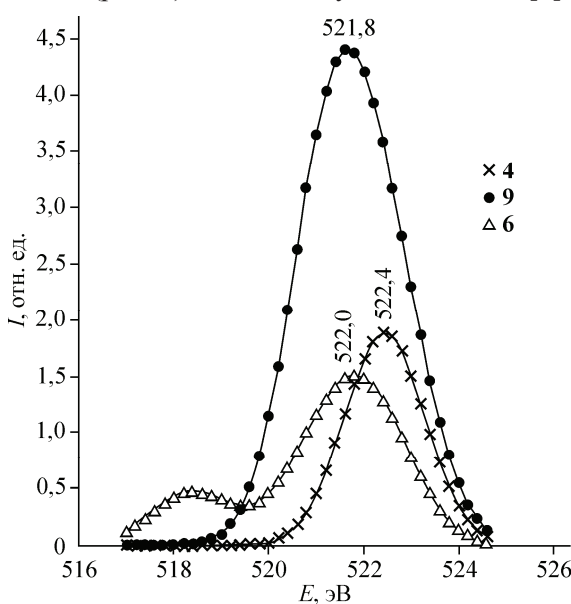
Экспериментальные значения энергий связи линий $S2p_{3/2}$, $O1s$; теоретические значения энергий внутренних уровней $S2p$, $O1s$, заряды Q на атомах серы и кислорода и разность между теоретическими и экспериментальными значениями $O1s$ -уровня для ациклических молекул **1—3** и тиакаликс[4]аренов **4—11**

L	$S2p_{3/2}$, эксп.	$S2p$, эВ, расч.	$Q(S)$, расч.	$O1s$, эксп.	$O1s$, расч.	$\Delta(O1s)$, эВ	$Q(O)$, расч.
1	164,01	161,18	-0,28	533,40	521,4	12	-0,63
2	163,95	161,15	-0,25	533,47	521,5	12	-0,62; -0,52
3	163,85	161,07	-0,20; -0,26	533,32	521,6	11,7	-0,60; -0,45
4	163,8	161,13	-0,09	533,24	522,4	10,8	-0,37; -0,46
5	163,93	161,05	-0,19	533,45	521,9	11,6	-0,48; -0,65
6	163,71	160,91	-0,23; -0,18	533,02; 530,88	521,8; 518,5	11,2; 12,4	-0,41; -0,56
7	163,76	161,10	-0,18; -0,21	533,06	521,6	11,4	-0,50
8	163,8	161,34	-0,12	533,04	522,0	11	-0,62; -0,55
9	168,3	165,62	0,46	532,22	521,6	10,6	-0,47; -0,55
10*	163,8	161,0	-0,16	533,5	522,4	11,1	-0,38; -0,42
11*	163,5	160,4	-0,27	532,5	521,1	11,1	-0,30

* [12].

и увеличении положительного заряда на атомах серы в этом соединении, что согласуется с теоретическими расчетами (см. табл. 2) и известными литературными данными для ациклических сульфонов $((C_8H_{17})_2SO_2—(C_6H_{13})_2SO_2$ 167,8—168,4 эВ) [20].

Согласно расчетным данным энергия $O1s$ -уровней атомов кислорода в изученных соединениях изменяется в следующей последовательности: $O=P<(518,4)$ (6) < $O=S$ (9), $O=C<(520,8—521,6)<C—O—C$ (520,9—522,2) < $C—O—H$ (521,4—522,8). Учитывая, что экспериментальная ширина линии $O1s$ -уровня в методе составляет 1,5 эВ, можно было ожидать, что в модельных спектрах изученных соединений (кроме тиакаликс[4]арена 6) будет присутствовать лишь один максимум, являющийся суперпозицией полос от разных атомов кислорода, и его положение будет определяться соотношением количеств атомов кислорода различных типов (рис. 2). Лишь в случае тиакаликс[4]арена 6 будет проявляться отдельная дополнитель-



ная линия, соответствующая атому кислорода РО-группы.

Данные квантово-химических расчетов качественно подтверждаются экспериментальными РФЭ спектрами исследованных соединений. Положение основной линии $O1s$ во всех спектрах составляет 532,22—534,47 эВ, уменьшаясь в ряду **1—5**, **12** (533,2—533,47) > **6—8** (533,02—533,06) > **10, 11** (532,5—532,8), **9** (532,22) (см. табл. 2). Наибольшие по энергии значения максимума полосы отмечаются для соединений **1—5**, так как в них присутствуют только атомы кислорода незамещенных фенольных групп. В тиакаликс[4]аренах **6—8** и **10, 11** происходит последовательное уменьшение энергии макси-

Рис. 2. Расчетные РФЭС $O1s$ для соединений **4, 9, 6**

мума линии O1s за счет частичного (6—8) или полного (10, 11) замещения протонов на углеводородные радикалы в OH-группах нижнего обода и наличия C=O-групп в каликс[4]арене 8. Наиболее сильное уменьшение энергии максимума основной линии O1s в сульфоновом производном 9 объясняется наиболее сильным смещением уровней O1s для атомов кислорода группы O=S=O, так как данная линия является суперпозицией полос от разных атомов кислорода, и ее положение определяется соотношением между количеством таких атомов и атомов кислорода OH-групп. В случае соединения 6 в экспериментальном O1s-спектре появляется дополнительная линия (530,88 эВ) за счет наличия группы PO, атом кислорода которой значительно отличается по энергии 1s-уровня.

Систематическая разница между орбитальными энергиями Кона—Шема (КШ), полученными в результате квантово-химических расчетов, и вертикальными потенциалами ионизации (ПИ) (2,4—2,7 эВ для S2p-уровня и 10,4—12,4 эВ для O1s-уровня) обусловлена релаксационными эффектами при возникновении электронной вакансии на внутреннем уровне атомов при получении рентгеновских фотоэлектронных спектров. Схожие результаты были получены ранее для других тиакаликсаренов [11], что позволяет оценить энергетические поправки для разницы ($\varepsilon_{\text{КШ}} - \text{ПИ}$) в тиакаликсаренах как 2—3 эВ для S2p-уровня и 11—12 эВ для O1s-уровня. Более того, схожие величины поправок для O1s-уровня были получены для кислородсодержащих комплексов рутения [21] и комплексов β -дикетонатов палладия [22], что позволяет предположить, что величина поправки ($\varepsilon_{\text{КШ}} - \text{ПИ}$) для O1s-уровня в 11—12 эВ может быть распространена на достаточно широкий класс объектов.

Рентгеновские эмиссионные K_{β} -спектры серы и K_{α} -спектры кислорода. Распределение электронной плотности в молекуле определяется строением высших занятых молекулярных орбиталей химического соединения. Тонкая структура рентгеновских эмиссионных спектров формируется в результате перехода электронов с верхних заполненных уровней на соответствующую внутреннюю вакансию и отображает занятые молекулярные орбитали комплекса [20]. Рентгеновские SK $_{\beta}$ -спектры, связанные со спектральными переходами электронов с занятых MO, построенных с участием 3p-AO атомов серы, на глубокий 1s-уровень атома серы, позволяют оценить степень участия 3p-AO серы в построении определенной ВЗМО системы. Эмиссионные OK $_{\alpha}$ -спектры отвечают рентгеновскому переходу электрона с занятых валентных MO, построенных с участием 2p-AO кислорода, на глубокий атомоподобный 1s-уровень кислорода (переход 2p → 1s).

Все экспериментальные спектры изображены в единой шкале энергий связи электронов относительно уровня вакуума (рис. 3, I, II) [10]. Положение вакуума на шкале энергий спектральных переходов определяли энергией K $_{\alpha12}$ -линии серы (переход 1s → 2p $_{3/2}$) и энергией рентгеноэлектронной линии 2p $_{3/2, 1/2}$ серы (переход 2p $_{3/2, 1/2}$ → уровень вакуума) (см. табл. 2).

С целью детальной интерпретации рентгеновских эмиссионных K $_{\beta}$ -спектров серы и K $_{\alpha}$ -спектров кислорода из квантово-химических расчетов электронной структуры молекул была определена степень участия 3p-AO серы и 2p-AO кислорода в ВЗМО и построены теоретические эмиссионные спектры. При моделировании рентгеновских спектров валентных полос на основе расчетных данных для основного состояния молекулы энергетическое положение спектральных линий определяется одноэлектронными энергиями уровней (приближение Купманса), а относительные интенсивности спектральных переходов — квадратами коэффициентов MO ЛКАО, которые определяют вклады AO определенной симметрии в данную MO ($J_i \sim \sum |c_i|^2$). Форму линии определенных рентгеновских переходов аппроксимировали линиями лоренцевой формы шириной 1,5 эВ.

На рис. 3 приведены примеры теоретических и экспериментальных рентгеновских эмиссионных спектров изучаемых соединений. Вклады 3p-AO атомов серы и 2p-AO атомов кислорода в ВЗМО и НСМО изучаемых отдельных молекул 1—3 и тиакаликс[4]аренов 4—9, рассчитанные методом теории функционала плотности, приведены в табл. 3. Энергетические диаграммы уровней MO показаны на рис. 4. На рис. 5 приведен вид отдельных характерных верхних молекулярных орбиталей для некоторых тиакаликсаренов.

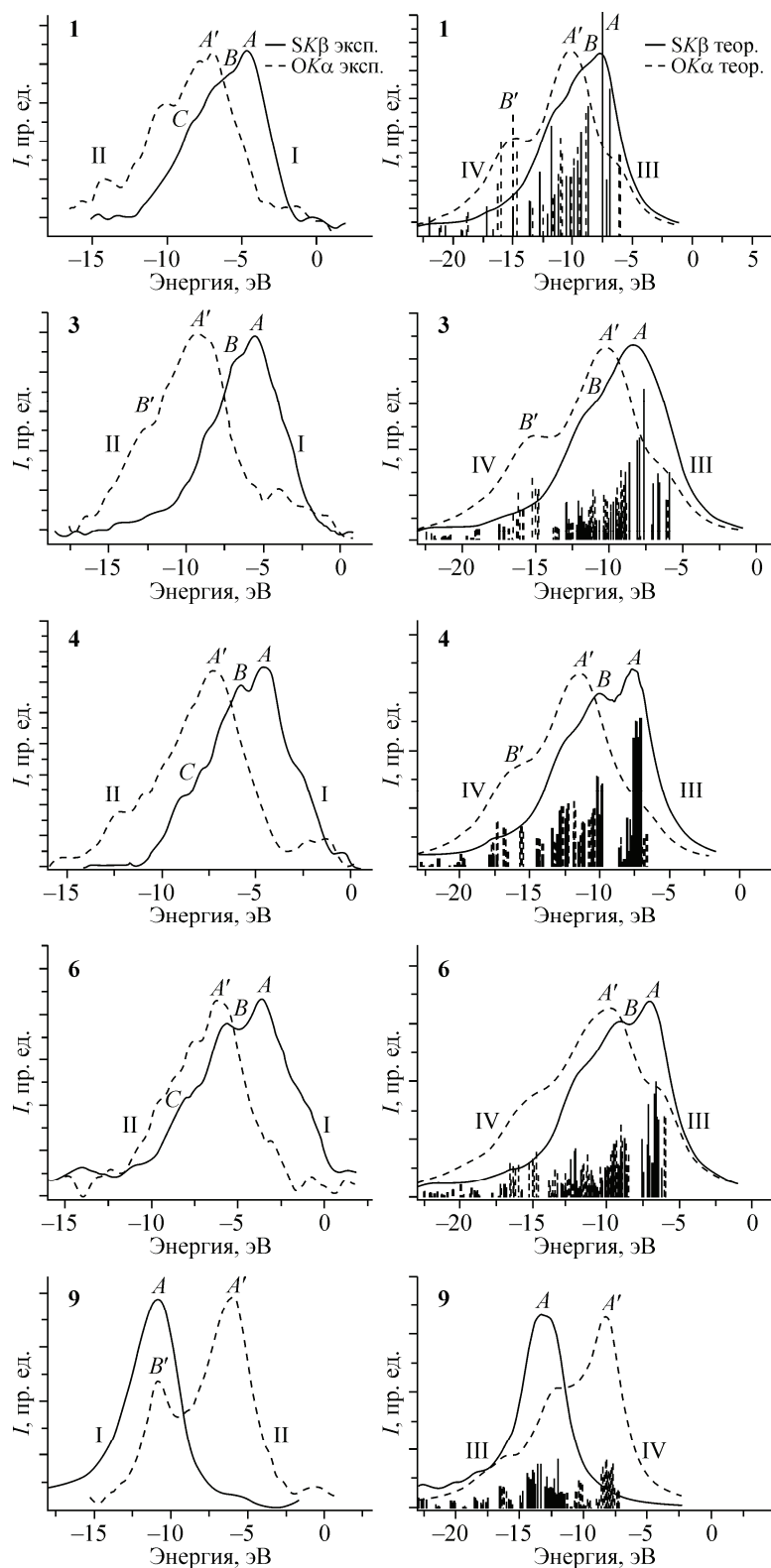


Рис. 3. Примеры РЭ спектров для **1**, **3**-ациклических молекул, **4**, **6** — тиакаликсаренов, **9** — сульфона (I — экспериментальный SK_{β} -спектр, II — экспериментальный OK_{α} -спектр, III — теоретический SK_{β} -спектр, IV — теоретический OK_{α} -спектр)

Таблица 3

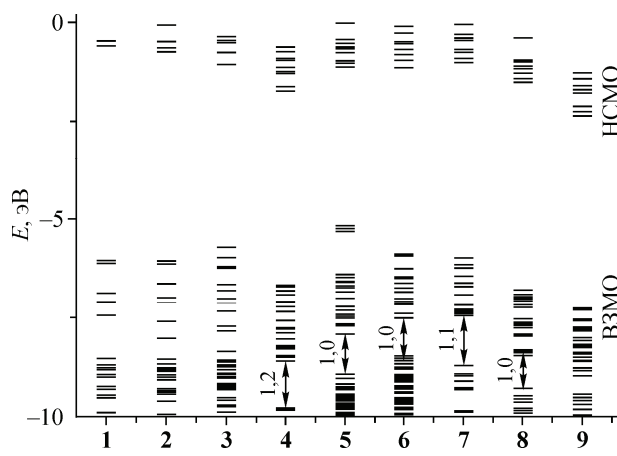
Вклад 3p-атомов серы / 2p-атомов кислорода (%) в верхние занятые и нижние свободные MO для ациклических соединений 1—3 и тиакаликс[4]аренов 4—9

Параметр	1	2	3	4	5
HOMO-9	1,40 / 4,00	9,47 / 10,79	44,57 / 2,31	15,97 / 0,01	24,74 / 10,38
HOMO-8	0,06 / 8,85	19,68 / 4,94	17,09 / 0,59	10,48 / 0,16	57,29 / 1,01
HOMO-7	0,77 / 9,80	33,88 / 1,23	9,79 / 0,89	44,23 / 0,52	3,78 / 9,24
HOMO-6	2,41 / 12,60	53,45 / 2,99	16,69 / 1,06	50,23 / 0,69	5,18 / 15,29
HOMO-5	12,24 / 9,54	5,15 / 0,47	50,46 / 2,72	44,60 / 0,52	11,06 / 19,88
HOMO-4	55,14 / 2,96	20,63 / 1,57	2,35 / 20,04	51,37 / 0,4	9,66 / 20,38
HOMO-3	6,03 / 0,17	19,56 / 8,23	4,75 / 21,42	2,99 / 5,59	0,19 / 0,16
HOMO-2	17,37 / 1,40	1,12 / 25,24	26,20 / 7,35	1,78 / 7,05	0,39 / 0,23
HOMO-1	0,78 / 24,02	0,83 / 25,23	4,00 / 24,29	3,79 / 6,95	0,24 / 0,11
HOMO	1,39 / 25,30	28,71 / 12,52	23,27 / 17,04	2,39 / 7,73	0,23 / 0,01
LUMO	3,90 / 0,98	6,32 / 1,11	6,04 / 0,35	2,04 / 0,14	1,88 / 0,4
LUMO+1	14,05 / 0,29	13,70 / 0,87	12,68 / 1,02	0,22 / 0,14	0,87 / 0,26
Параметр	6	7	8	9	
HOMO-9	17,51 / 0,84	21,44 / 1,40	2,68 / 52,34	2,25 / 58,62	
HOMO-8	15,36 / 15,27	22,17 / 1,53	6,79 / 21,08	4,48 / 54,53	
HOMO-7	45,56 / 6,22	40,47 / 4,84	30,50 / 25,86	6,87 / 59,30	
HOMO-6	51,07 / 3,95	50,25 / 6,01	51,95 / 4,55	7,85 / 54,60	
HOMO-5	36,17 / 10,64	24,46 / 12,86	49,63 / 4,66	8,17 / 63,50	
HOMO-4	34,89 / 11,25	10,93 / 25,05	20,15 / 17,91	7,09 / 70,67	
HOMO-3	13,51 / 18,91	49,34 / 3,24	56,30 / 3,28	0,84 / 29,52	
HOMO-2	2,10 / 42,36	32,62 / 12,14	11,53 / 23,21	0,81 / 33,53	
HOMO-1	0,12 / 47,06	17,44 / 21,37	15,90 / 21,94	0,62 / 29,58	
HOMO	5,86 / 34,69	16,82 / 21,91	4,68 / 31,1	0,39 / 28,36	
LUMO	6,69 / 0,4	9,17 / 0,35	4,09 / 0,9	9,03 / 9,66	
LUMO+1	6,86 / 0,59	2,52 / 0,16	8,87 / 0,77	12,51 / 10,27	

В экспериментальных K_{β} -спектрах серы для всех изученных тиакаликсаренов (кроме 9) отмечается наличие двух максимумов (A и B) в области энергии связи ~ 5 —7 эВ и последующего плеча (C) в области 8—9 эВ (см. рис. 3, I). Для ациклических аналогов 1—3 максимум B менее выражен и проявляется в виде плеча полосы A . Для сульфонового производного 9 в экспериментальных спектрах наблюдается лишь один пик, смещенный относительно соединений 1—8 в область больших энергий (~ 10 эВ).

Экспериментальные рентгеновские эмиссионные K_{α} -спектры кислорода ациклических соединений 1—3 и тиакаликс[4]аренов 4—8 схожи между собой (см. рис. 3, II). Для всех соединений отмечается один выраженный максимум с энергией 6—9 эВ с наплывами в области более высоких энергий. Для тиакаликсарена 9 экспериментальный K_{α} -спектр кислорода имеет два выраженных пика, более высокоэнергетический из которых по положению совпадает с полосой в K_{β} -спектре серы.

Результаты теоретических расчетов ациклических молекул (см. табл. 3) показывают, что самые верхние занятые MO ($\epsilon_i \approx 6,1$ эВ) построены с большим участием 2p-АО кислорода и атомов углерода, тогда как MO, содержащие существенный вклад 3p-АО серы, лежат в области больших энергий ($\epsilon_i \approx 6,9$ эВ). Для тиакаликс[4]аренов 4, 5, 7, 8 верхние занятые MO ($\epsilon_i \approx 6,6$ эВ) построены преимущественно с вкладом атомов углерода бензольных колец и неболь-



ственным вкладом $3p$ -АО серы, находятся также в области больших энергий ($\epsilon_i \approx 6,8\div7,3$ эВ) (Homo-4—Homo-9). Как видно из табл. 3, для тиакаликсарена **9** вклад в ВЗМО $3p$ -АО серы не значителен, данные MO построены с превалирующим участием $2p$ -АО кислорода и небольшим вкладом атомов углерода.

Теоретические рентгеновские эмиссионные SK_{β} - (см. рис. 3, III) и OK_{α} -спектры молекул (см. рис. 3, IV) удовлетворительно воспроизводят характерные особенности экспериментальных спектров. Более выраженная структура максимумов в SK_{β} -спектрах при переходе от ациклических молекул **1**—**3** к тиакаликсаренам **4**—**8** обусловлена в первую очередь появлением разрыва (1—1,2 эВ) в энергетическом спектре молекулярных орбиталей (см. рис. 4) при образовании цикла, включающего 4 бензольных кольца, связанных атомами серы. При этом молекулярные орбитали, лежащие по энергии выше области разрыва, являются линейной комбинацией π -связующих углерод-углерод, локализованных на отдельных ароматических фрагментах с неподеленными парами гетероатомов серы (см. рис. 5, *в*). Ниже области разрыва находятся

Рис. 4. Диаграмма энергетических уровней MO для соединений **1**—**9**

шим участием атомов кислорода нижнего обода (см. рис. 5, *а*), однако непосредственно к этим орбиталям прилегает группа MO ($\epsilon_i \approx 6,8\div7,3$ эВ), построенных с большим участием $3p$ -АО серы (см. табл. 3). В случае тиакаликс[4]арена **6** верхние занятые MO содержат существенный вклад неподеленной пары атомов кислорода группы P=O и имеют вид, представленный на рис. 5, *б*. Молекулярные орбитали, построенные с преимущественным вкладом $3p$ -АО серы, находятся также в области больших энергий ($\epsilon_i \approx 6,8\div7,3$ эВ) (Homo-4—Homo-9). Как видно из табл. 3, для тиакаликсарена **9** вклад в ВЗМО $3p$ -АО серы не значителен, данные MO построены с превалирующим участием $2p$ -АО кислорода и небольшим вкладом атомов углерода.

Теоретические рентгеновские эмиссионные SK_{β} - (см. рис. 3, III) и OK_{α} -спектры молекул (см. рис. 3, IV) удовлетворительно воспроизводят характерные особенности экспериментальных спектров. Более выраженная структура максимумов в SK_{β} -спектрах при переходе от ациклических молекул **1**—**3** к тиакаликсаренам **4**—**8** обусловлена в первую очередь появлением разрыва (1—1,2 эВ) в энергетическом спектре молекулярных орбиталей (см. рис. 4) при образовании цикла, включающего 4 бензольных кольца, связанных атомами серы. При этом молекулярные орбитали, лежащие по энергии выше области разрыва, являются линейной комбинацией π -связующих углерод-углерод, локализованных на отдельных ароматических фрагментах с неподеленными парами гетероатомов серы (см. рис. 5, *в*). Ниже области разрыва находятся

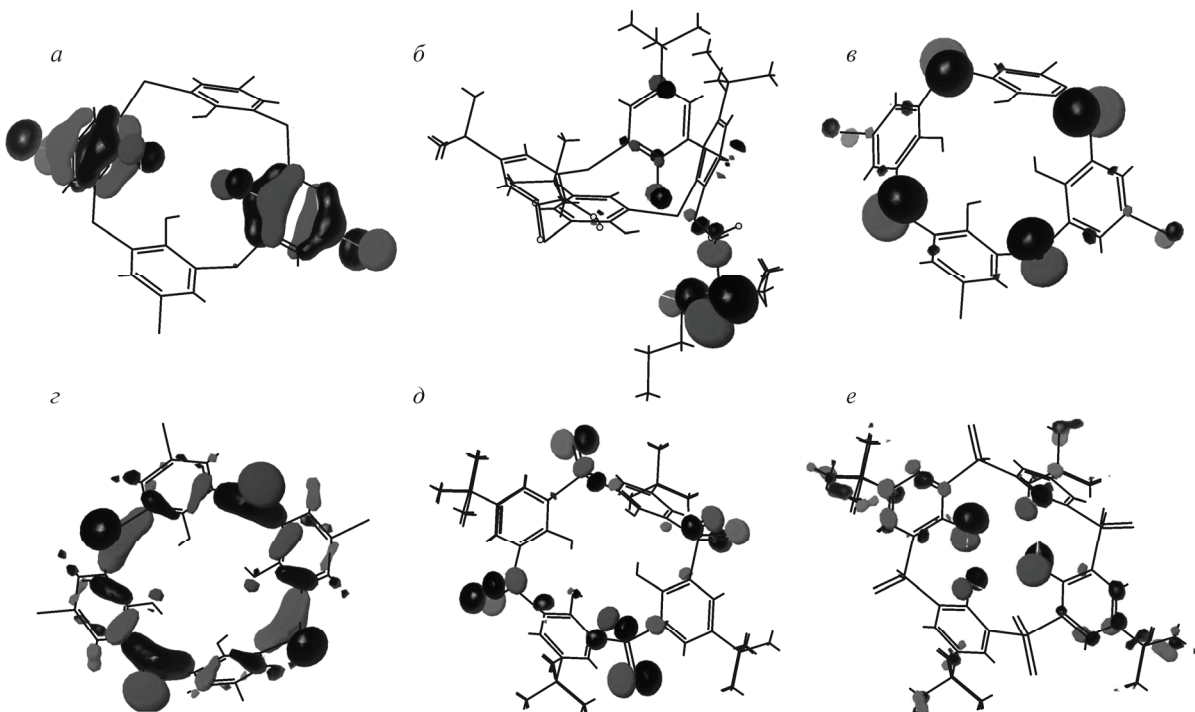


Рис. 5. Вид некоторых молекулярных орбиталей для тиакаликсаренов: **4** (*а*) HOMO-1, (*в*) HOMO-7, (*г*) HOMO-24, **6** (*б*) HOMO-2 и **9** (*д*) HOMO-14, (*е*) HOMO-36

МО, включающие $p-\pi$ -взаимодействия атомов серы с ароматической системой бензольных колец (см. рис. 5, *г*). Исходя из вышеизложенного можно сделать вывод, что максимум *A* в SK_{β} -спектрах обусловлен переходами электронов с орбиталей, преимущественно включающих неподеленные пары атомов серы, а максимум *B* связан с переходами электронов с уровней, соответствующих данным орбиталям, являющихся в значительной степени π -связывающими. Понижение уровня этих орбиталяй и образование разрыва в энергетической диаграмме (см. рис. 4) при переходе от **1—3** к **4—8**, вероятнее всего, объясняется образованием циклической π -системы, включающей все бензольные фрагменты и атомы серы. Этот вывод также подтверждается и тем, что на диаграмме МО тиакаликсарена **9** подобный разрыв отсутствует (или незначителен), что связано с участием $2p$ -орбиталяй серы в образовании π -связей с атомами кислорода и отсутствием неподеленных пар на атомах серы. Единственный максимум в SK_{β} -спектре соединения **9** обусловлен переходами с этих орбиталяй, а его смещение в более высокоэнергетическую область по сравнению с соединениями **1—8** вызвано изменением зарядового состояния серы и соответствующим изменением энергии $S2p$ -уровней, как следует из данных РФЭС.

Основной максимум в OK_{α} -спектрах соединений **1—8** (см. рис. 3, II, IV) можно соотнести с рентгеновскими переходами с несвязывающих молекулярных уровней, отвечающих неподеленным парам атомов кислорода. Наплывы в области высокой энергии, которые более четко проявляются в расчетных спектрах, можно отнести к переходам электронов со связывающих орбиталяй, отвечающих связям C—O. В случае тиакаликсарена **9**, согласно теоретическим расчетам, низкоэнергетический пик *B* соответствует в основном орбиталям с участием неподеленных пар $2p$ -электронов атомов кислорода гидроксигрупп нижнего обода и сульфоновых мостиков (см. рис. 5, *д*). Высокоэнергетический максимум *A*, совпадающий по положению с полосой в SK_{β} -спектре, относится к переходам с π -связывающих орбиталяй связей S=O и C—O (см. рис. 5, *е*).

Сопоставление SK_{β} - и OK_{α} -спектров показывает, что для соединений **1—8** внешними являются МО, построенные с большим участием $3p$ -АО серы, тогда как молекулярные орбитали, построенные с большим участием $2p$ -АО кислорода, находятся в более высокоэнергетической области (см. рис. 3). И лишь в случае сульфонового производного **9**, в котором отсутствуют неподеленные электронные пары $S2p$, внешними являются МО, построенные с участием $2p$ -АО атомов кислорода нижнего обода.

Экспериментальные потенциалы ионизации ($\text{ПИ} = -\varepsilon_i + \Delta_K$), полученные на основании рентгеноспектральных данных, отличаются от соответствующих теоретических значений Кона—Шема (ε_i) на величину Δ_K порядка ~2—3 эВ. Аналогичные оценки величины поправки Δ_K были получены ранее [10] при изучении K_{β} -спектров серы тиакаликсаренов, а также при изучении K_{β} -спектров серы серии молекул дитиокарбаматов и дитиофосфинатов [23]. Соответствующие поправки в значительной мере связаны с релаксацией валентных орбиталяй на электронную вакансию, которая возникает в системе при переходе валентного электрона с ВЗМО на внутренний $1s$ -уровень атома серы.

ЗАКЛЮЧЕНИЕ

С применением рентгеновской спектроскопии и квантово-химических методов показано, что влияние заместителей в верхнем или нижнем ободе тиакаликсаренов на электронные характеристики мостиковых атомов серы существенно меньше, чем влияние конформационных изменений [10—12] и находится в пределах погрешности рентгеноспектральных методов. При окислении мостиковых группировок до сульфоновых происходит закономерное снижение электронной плотности на атоме серы, что отражается в смещении полос в РЭ и РФЭ спектрах. Неизменность донорных свойств атомов серы при введении заместителей различных типов в бензольное кольцо подтверждает полученные ранее данные о сохранении экстракционной способности серы в бифункциональных экстрагентах на основе ТКА [10]. Сопоставление ТКА и их ациклических аналогов показывает, что особенности РЭ спектров ТКА обусловлены образованием единой циклической π -системы с участием АО серы, что приводит к понижению

энергии орбиталей, включающих $p-\pi$ -взаимодействия мостиковых атомов серы и ароматических фрагментов.

СПИСОК ЛИТЕРАТУРЫ

1. Iki N., Miyano S. // J. Incl. Phenom. – 2001. – **41**. – P. 99 – 105.
2. Шокова Э.А., Ковалев В.В. // Журн. орган. химии. – 2003. – **39**, № 1. – С. 13 – 40.
3. Morohashi N., Narumi F., Iki N., Hattori N., Miyano S. // Chem. Rev. – 2006. – **106**. – P. 5291 – 5316.
4. Asfari Z., Bilyk A., Dunlop J.W.C. et al. // Angew. Chem. Int. Ed. – 2001. – **40**. – P. 721 – 723.
5. Agrawal Y.K., Pancholi J.P. // Ind. J. Chem. – 2007. – **46A**. – P. 1373 – 1382.
6. Bilyk A., Dunlop J.W., Fuller R.O., Hall A.K., Harrowfield J.M., Hosseini M.W., Koutsantonis G.A., Murray I.W., Skelton B.W., Sobolev A.N., Stamps R.L., White A.H. // Eur. J. Inorg. Chem. – 2010. – P. 2127 – 2152.
7. Bilyk A., Dunlop J.W., Fuller R.O., Hall A.K., Harrowfield J.M., Hosseini M.W., Koutsantonis G.A., Murray I.W., Skelton B.W., Sobolev A.N., Stamps R.L., White A.H. // Eur. J. Inorg. Chem. – 2010. – P. 2106 – 2126.
8. Bilyk A., Hall A.K., Harrowfield J.M., Hosseini M.W., Mislin G., Skelton B.W., Taylor C., White A.H. // Eur. J. Inorg. Chem. – 2000. – P. 823 – 826.
9. Morohashi N., Hattori T., Yokomakura K., Kabuto C., Miyano S. // Tetr. Lett. – 2002. – P. 7769.
10. Торгов В.Г., Мазалов Л.Н., Костин Г.А., Ус Т.В., Корда Т.М., Крючкова Н.А., Коротаев Е.А., Федоренко А.Д., Драпайлло А.Б. // Журн. структур. химии. – 2011. – **52**, № 4. – С. 740 – 747.
11. Мазалов Л.Н., Крючкова Н.А., Коротаев Е.В., Федоренко А.Д., Торгов В.Г., Костин Г.А., Кальченко В.И. // Журн. структур. химии. – 2011. – **52**, Прилож. – С. S40 – S48.
12. Kostin G.A., Kryuchkova N.A., Mazalov L.N., Torgov V.G., Drapailo A.B. // J. Mol. Struct. – 2011. – **1006**. – P. 502 – 507.
13. Scifield J.H. // J. Electron Spectrosc. Relat. Phenom. – 1976. – **8**. – P. 129.
14. Jaguar 7.5, Shrodinger Inc. – Portland OR. – 2008.
15. Becke A. // J. Chem. Phys. – 1993. – **98**. – P. 5648.
16. Lee C., Yang W., Parr R.G. // Phys. Rev. B. – 1988. – **37**. – P. 785.
17. Mitin A.V., Baker J., Pulay P. // J. Chem. Phys. – 2003. – **118**. – P. 7775.
18. Chirlian L.E., Franci M.M. // J. Comput. Chem. – 1987. – **8**. – P. 894.
19. Hehre W.J., Ditchfield R., Steward R.F., Pople J.A. // J. Chem. Phys. – 1970. – **52**. – P. 2769.
20. Мазалов Л.Н., Юматов В.Д., Мурахтанов В.В. Рентгеновские спектры молекул. – Новосибирск: Наука. Сиб. Отд-ние, 1977.
21. Костин Г.А., Бородин А.О., Крючкова Н.А., Курачева Н.В., Боронин А.И., Гуляев Р.В. // Журн. координац. химии. – 2012. – **38**, № 8. – С. 566 – 574.
22. Мазалов Л.Н., Трубина С.В., Крючкова Н.А., Тарасенко О.А., Трубин С.В., Жаркова Г.И. // Журн. структур. химии. – 2007. – **48**, № 2. – С. 259 – 268.
23. Мазалов Л.Н., Крючкова Н.А., Трубина С.В., Тарасенко О.А., Парыгина Г.К. // Журн. структур. химии. – 2008. – **49**, Прилож. – С. S22 – S43.